

神戸大学 正〇北林泰春 正 勝井春輔 学 山本 元

## 1. まえがき

本研究は、道路や空港滑走路などの路盤工事における地盤の締固め効果の判定に地盤の鉛直複素剛性を取り入れたための基礎的研究である。本研究では、地盤を路盤・路床系としてとらえるとき、近似的には有限厚さの路盤の下に半無限層となる路床が存在する、いわゆる二層弹性地盤として取り扱うものと仮定し、加振振動数、路盤厚および地盤の層剛性比等が複素剛性に及ぼす影響について報告する。

## 2. 基礎式

いま、図-1 によるとおりに、上層（路盤）の層厚  $h$ 、下層（路床）が半無限層となる二層弹性地盤の表面に質量と弹性率の半径  $r_0$  の剛円盤が存在する場合を考える。なお、この二層地盤の層境界で変位と応力が連続とし、剛円盤と地表面との間に摩擦力は働くないと仮定する。このとき、剛円盤に対する鉛直複素剛性  $K_V$  は、半無限弹性体の場合について Robertson<sup>1)</sup> が示した定式を二層弹性地盤に拡張して、次式のように得られる。

$$K_V = \frac{4\mu_1}{1-\nu_1} \int_0^{r_0} \theta(\tau) d\tau \quad (1)$$

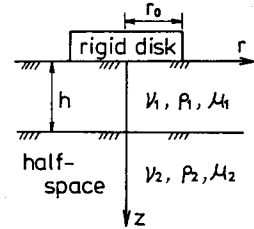


図-1 解析モデル

ここで、本研究において、 $\nu$ 、 $\rho$ 、 $\mu$  はそれぞれボアソン比、密度、せん断弹性係数で、添字 1、2 は図-1 に示すように上層および下層に対する物理定数であることを意味する。また、式(1)の未知関数  $\theta(\tau)$  は次に示す第2種 Fredholm 型積分方程式の解である。

$$\theta(x) + \int_0^{r_0} K(x, \tau) \theta(\tau) d\tau = 1 \quad (0 \leq x \leq r_0) \quad (2) \quad K(x, \tau) = \frac{2}{\pi} \int_0^{\infty} H(k) \cos(Xk) \cos(Tk) dk \quad (3)$$

ただし、 $(1-\nu_1)H(k) = -\{k\alpha_1 W(k)/F(k) + (1-\nu_1)\}^2$ 、 $\alpha_1$ 、 $W(k)$ 、 $F(k)$  の詳細については文献 2) に譲る。なお、上記の定式は、式表示が若干異なるが、Lucas<sup>3)</sup> よりも得られている。

## 3. 計算方法

式(3)の積分に於いて、被積分関数の分母  $F(k)$  は地盤の層剛性比  $\mu_2/\mu_1$  および高次元振動数  $\omega R/V_{S1}$  ( $\omega$ : 円振動数、 $R$ : 上層厚、 $V_{S1}$ : 上層の横波速度) の値のいかんによって複数個の実根を持つ。一般に、下層のせん断弹性係数が上層のせん断弹性係数よりも大きい地盤、すなわち  $\mu_2/\mu_1 > 1$  なる地盤では表面波は分散性を示すことが知られており、このようなケースに対する鉛直複素剛性の計算例は文献 3) にも示されている。一方、本研究のように、路盤・路床系の二層地盤を想定する場合、 $\mu_2/\mu_1 < 1$  とすると、式(3)の被積分関数の分母  $F(k)$  は必ずしも根を持たない。しかし、式(3)の被積分関数は鋭いピークの極大、極小を有する場合があるため、数值積分に際しては積分キザミに十分な配慮が必要である。なお、式(1)、(2)の数值積分には Gauss の求積法を、また式(3)の積分には不等間隔 Simpson 法を用いる。

## 4. 計算結果

数值計算に際しては、地盤の各物理定数の内、密度とボアソン比を  $\rho_1 = \rho_2$ 、 $\nu_1 = \nu_2 = 1/3$  と仮定し、計算結果は複素剛性  $K_V$  の実部、虚部の値を用いて図示する。

(1) 加振振動数の影響 図-2 は、路盤厚  $R/h$  をパラメータとして、加振振動数  $\omega_0 (= \omega R/V_{S1})$  による複素剛性の変化を示したものである。なお、同図において、 $R/h = \infty$  は半無限弹性地盤 ( $\mu_2/\mu_1 = 1$ ) に対する結果である。二層地盤の複素剛性は半無限地盤の複素剛性の回りに変動しており、 $R/h = 3$  のときの複素剛性は  $\omega_0$  が大き

くなるとともに半無限地盤の複素剛性に近づく傾向を示していま。 $a_0$ が大きくなれば、路盤厚が波長に比べて相対的に大きくなることによるものと考えられる。したがって、路盤厚が大きくなるとともに、加振振動数の範囲に注意しなければ二層地盤と半無限地盤の複素剛性に顕著な差異が見い出せなくなる。

(2) 路盤厚の影響 図-3は、 $a_0$ をパラメータとして、 $h/r_0$ による複素剛性の変化を示す。同図の横軸の $h/r_0 = \infty$ に対する値は半無限地盤の複素剛性である。前述のように、 $h/r_0$ が大きくなるにつれて半無限地盤の複素剛性に近づくことがわかる。また、 $a_0$ の増加とともに、複素剛性の実部が極大を示す $\mu_1/r_0$ の値は小さく方へ移動している。この極大を示す $\mu_1/r_0$ の値、すなはち路盤厚は上層の横波の半波長に一致している。

(3) 層剛性比の影響 図-4は、 $a_0$ をパラメータとして、 $\mu_2/\mu_1$ による複素剛性の変化を示したものである。乍ら、同図において、 $a_0 = 0$ に対する結果は静的剛性である。同図より、本研究で示した $\mu_2/\mu_1 = 0.05 \sim 1.0$ の範囲では、 $a_0$ の値によらず複素剛性は $\mu_2/\mu_1$ に対してほとんど変化を示さないケースがみられる。これより、 $\mu_1/r_0$ を一定として、地盤の総固め状態を $\mu_2/\mu_1$ の変化として捉えるとき、加振振動数( $a_0$ )が重要な要素である。言いかえると、加振振動数の選択と地盤の総固め結果の判定ができることがある。

### 5. あとがき

本研究では、路盤・路床系を二層構造の地盤として单纯化したが、さらに三層以上の多層構造の地盤として解析することも必要であろう。また、本研究では複素剛性のみを用いたが、実際に加振実験を行う場合には剛円盤の質量効果も関係するため、これらの点についても検討を加えたいと考えている。

文献 1) Robertson, I.A.: Proc. Camb. Phil. Soc., Vol. 62, pp. 547~553, 1966. 2) 北林他:建設工学研究所報告, 第22号, pp. 145~166, 1980. 3) Luco, J.E.: Nucl. Eng. Des., Vol. 31, pp. 204~217, 1974.

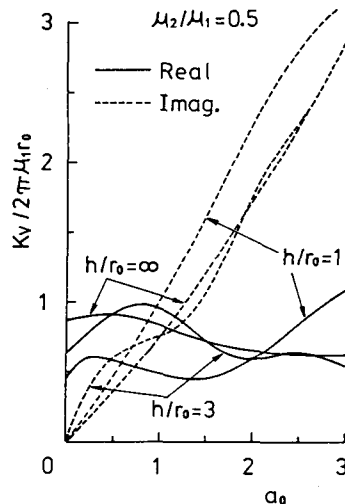


図-2 加振振動数による複素剛性の変化

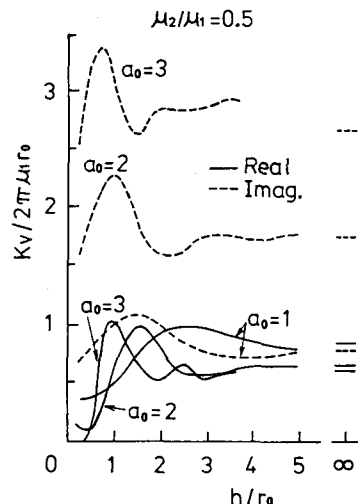
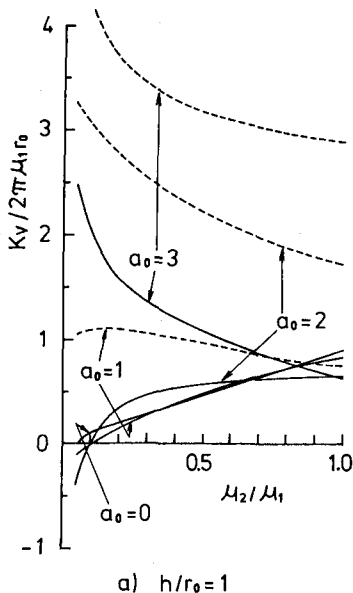
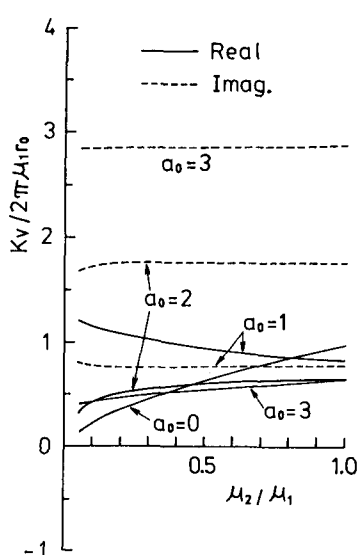


図-3 路盤厚による複素剛性の変化



a)  $h/r_0 = 1$



b)  $h/r_0 = 3$

図-4 層剛性比による複素剛性の変化